

543,272,1; 543,257,5; 669,14  
(211) アルゴン送気溶融一クーロン滴定法による鉄鋼中の酸素の定量

東北大学金属材料研究所 No. 64373

理博 後藤秀弘・理博○池田重良・大沼 明  
Inert Gas Fusion-Coulometric Determination of Oxygen in Iron and Steel.

Dr. Hidehiro GOTŌ, Dr. Shigero IKEDA  
and Akira ŌNUMA.

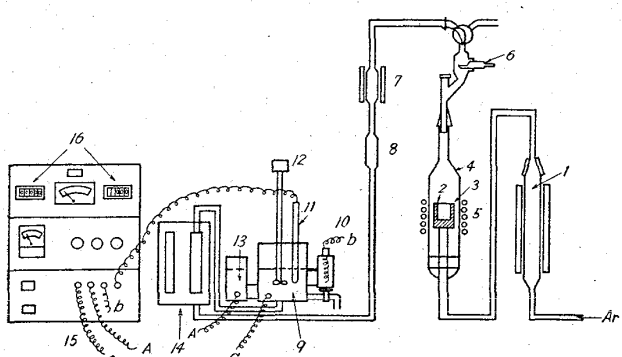
### I. 緒 言

鉄鋼材料中の酸素の分析法として最近アルゴンを用いる不活性ガス送気溶融法は高真空を用いず操作が簡便であるなどの特徴を有するため次第に広く用いられるようになつてきた。この方法によつて抽出されたCOガスは  $I_2O_5$  によつて  $CO_2$  に酸化された後、凝縮気化法または電気伝導度法によつて定量が行われている。凝縮気化法は液体窒素を用うこと、水分の捕集などを行わなければならぬなどの繁雑があり、またガスの抽出反応過程を観察することができない。電気伝導度法はこれらの不便さはないが温度変化に対して測定値が変動するおそれがあるので恒温槽などに注意を要し、また伝導度の測定値は標準物質によつて補正しておく必要がある。クーロン滴定法はpH電極を用うるが實際上温度係数は小さくクーロン量によつて酸素の絶対量を知ることができるの非常に有効な方法である。

本研究においては酸素分析用に設計した自動クーロン滴定装置を用いて各種の鉄鋼材料中の酸素を迅速に定量する方法について検討した。その結果この方法が鉄鋼中の酸素が約5minにて定量可能にして、迅速分析法として精度、正確度共にすぐれていることが明らかとなつたのでここに報告する。

### II. 装 置

分析装置はFig. 1に全系路を図示した。図中(2)～



- 1) Sponge titanium for purification of Ar.
  - 2) Graphite crucible.
  - 3) Quartz crucible.
  - 4) Quartz reaction tube.
  - 5) High frequency electric furnace.
  - 6) Holder for sample inlet.
  - 7)  $I_2O_5$ .
  - 8)  $Na_2S_2O_3$ .
  - 9) Cathode chamber.
  - 10)  $AgCl$  indicator electrode.
  - 11) Glass electrode.
  - 12) Stirrer.
  - 13) Anode chamber.
  - 14) Flow regulator.
  - 15) Automatic coulometer.
  - 16) Pulse counter.
- A) Anode circuit. B) Cathode circuit.

Fig. 1. Inert gas fusion-coulometric titration apparatus for the determination of oxygen.

(5) は試料溶融反応部であるが試料溶融用の黒鉛坩堝は日本カーボン社製で外径20mm、内径14mm、深さ25mm、底の厚さ10mmのもので断熱剤として充填する黒鉛粉末は分光分析用200メッシュのものを用いた。アルゴンガスはFig. 1の(1)のスポンジチタン充填の清浄塔を通して清浄した。試料の反応によつて発生したCOの酸化には150°Cに加熱した  $I_2O_5$  を用い、遊離した  $I_2$  は  $Na_2S_2O_3$  によつて吸収する。このようにして生成した  $CO_2$  は(a)の電量滴定用陰極槽に導かれる。ここには陰極液として5%  $Ba(ClO_4)_2 + 0.5\% iso-propyl alcohol$  液を用いここで  $CO_2$  は吸収されて  $Ba^{++} + CO_2 + H_2O \rightarrow BaCO_3 + 2H^+$  の反応が起る。この結果溶液のpHが変化するのでこのpHがもとの設定値にもどるまで溶液の電気分解が行なわれる。

このとき要した電気量を測定しファラデーの法則にしたがつて消費クーロン量より酸素量が算出される。電気分解はpulse電流によつて行なわれるが本装置においては1pulseの電気量は  $6 \times 10^{-8}$  クーロンとなるようにし酸素量の  $0.5 \times 10^{-6}$  g に相当するようにした。これは試料1gに対し  $0.00005\%$  の  $O_2$  に相当する。溶液のpHの変動はガラス電極および塩化銀電極にて測定する。

### III. 分析法の検討

#### 1) 脱ガスおよび空実験値

黒鉛坩堝を黒鉛粉末を充填した石英坩堝に入れて石英反応管内に挿入し脱ガスを行なうがこの場合の脱ガス温度と時間との関係をFig. 2に示す。また2400°Cで30min間脱ガス後温度を1800°Cに保つたときの空実験値の時間的変化をFig. 3(b)に示す。空実験値は2400°Cで脱ガス後は  $1.5 \gamma/min$  で全く変化しない。Fig. 3(a)は炭素鋼を分析した際の抽出反応状態、すなわち  $CO_2$  の測定値の時間的変化を示したものであるが5minで  $CO_2$  の定量は終了する。実際に多くの試料について分析を行ないその前後における空実験値は  $1.5 \gamma/min \pm 0.1 \gamma/min$  内の変動を与えるのみである。アルゴン流

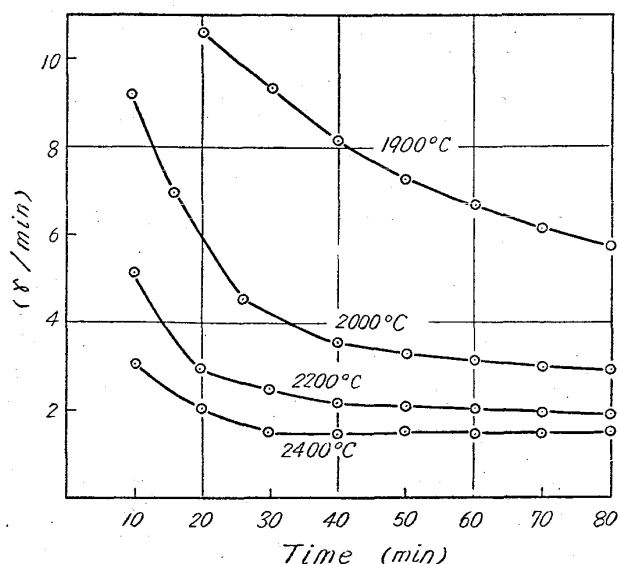


Fig. 2. Blank value in various temperature.

Table 1. Determination oxygen in iron an steel.

Sample	Weight taken (g)	Count	O <sub>2</sub> determined (%)	Mean value (%)	O <sub>2</sub> detnd by V. F.* (%)
Pure iron	2.4022	129	0.0026	0.0028 $\sigma\% = 9.3$	0.0028
	2.5641	126	0.0024		
	2.5124	143	0.0028		
	2.5093	155	0.0030		
	2.4560	145	0.0029		
	2.4379	153	0.0031		
Carbon steel (I)	0.8548	373	0.0223	0.0236 $\sigma\% = 2.75$	0.026
	0.9607	441	0.0234		
	0.8127	378	0.0238		
	0.6215	288	0.0238		
	1.0001	464	0.0236		
	0.7023	335	0.0244		
Carbon steel (II)	0.8609	748	0.0435	0.0418 $\sigma\% = 4.66$	0.044
	1.1324	935	0.0413		
	1.0215	853	0.0418		
	1.0161	898	0.0442		
	0.7355	644	0.0439		
	0.7577	615	0.0407		

\* V. F.; Vacuum fusion method

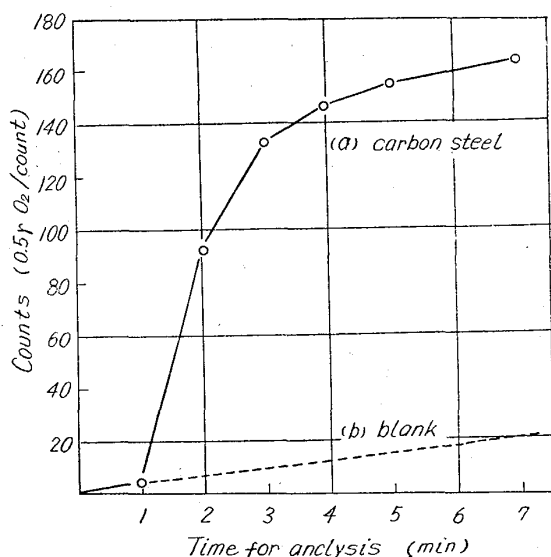


Fig. 3. Counting-time curve for the coulometric titration of oxygen in steel.

量はクーロン滴定の際の陽極槽における CO<sub>2</sub> の吸収に対して影響するが 400 ml/min 以下の流速では影響がないことがわかつたので I<sub>2</sub>O<sub>5</sub> の酸化速度を考慮して 200 ml/min に調節した。

## 2) 分析結果

試料は 1~2 g を精秤し常法にしたがつて研磨洗浄を行なった後試料台 (Fig. 1 (6))にのせて分析装置内に装入し空実験値の安定を確か (30sec位), 直ちに黒鉛坩堝中に投入する. 抽出, 生成した CO<sub>2</sub> をクーロン滴定法によって測定した際その測定量の時間的変化は Fig. 3 (a)に示したように試料投入後 1~2 min で急激に反応が行なわれ 5 min 後には完全に抽出が終了していることがわかる. Table 1 に純鉄および炭素鋼についてくり

Table 2. Determination of oxygen in iron, steel and ferroalloys.

Sample	Weight taken(g)	O <sub>2</sub> determined(%)	O <sub>2</sub> determined by V. F.*
Carbon steel	2.2628	0.0039	0.0042
	2.2707	0.0044	
Stainless steel	4.3793	0.0092	0.0031
	4.3955	0.0088	
Heat resisting alloyed steel (I)	2.1778	0.0041	0.0044
	2.1846	0.0042	
Heat resisting alloyed steel (II)	2.3012	0.043	0.0044
	2.2313	0.041	
Fe-Cr	0.1560 0.1429	0.048 0.051	
Fe-Mn	0.3675 0.3172	0.099 0.089	

\* V. F.; Vacuum fusion method

かえし定量を行なった結果を示す. 定量値は真空溶融法による定量値とよく一致している. この際分析温度は 1750°±50°C である. Table 2 にこの方法によつて各種の鉄鋼試料について分析した結果を示す. ステンレス鋼については分析温度 1950°C, 耐熱高合金鋼については 2100°C で溶融した. なおステンレス鋼並びに高合金鋼については同一坩堝で連続分析を行なうと 5 回目位から分析時間が次第に長くなり 8 min 位かかる. これは溶融浴中の Cr の炭化物の増加にともない浴の粘度が高くなり反応抽出の速度がおそくなるものと考えられる.

Fe-Cr については鉄浴を用いて 1800°C で分析し, Fe-Mn は 10 倍量の錫を金属浴として加え Mn の蒸着

によるゲッター作用を抑制して分析を行なつた。

#### IV. 結 言

アルゴン溶融法による鉄鋼中の酸素の分析法は操作が簡便で迅速であるがこの測定系に自動クーロン滴定装置を用うことによつて非常に精度のよい測定が可能である。その上反応過程が容易にわかり空実験値の変動なども容易に観察することができる。またクーロン量によつて酸素の作製などが不要である。また以上の実験結果からアルゴン溶融法による空実験値の変動は非常に少ないことが明らかとなつた。本法は鉄鋼中の酸素の迅速分析法として常に有効であると考える。

*543,272,1 : 669,15) 775-194*

#### (212) 高 S 含有鋼の酸素分析方法について

(真空溶融法による鉄鋼中ガス分析に関する考察—III)

特殊製鋼

津金不二夫・○鎌倉 正孝

Determination of Oxygen in High Sulphur Steels.

(Studies on the analysis of gases in steels by the vacuum fusion method—III)

Fujio TSUGANE and Masataka KAMAKURA.

#### I. 緒 言

真空溶融法によるガス分析に関して第 I, II 報<sup>1,2)</sup>では、Al, Mnなどが含有されるとO分析値を低下せしめることを明らかにした。現在使用されているステンレス鋼などの中には、その被切削性を改善するために、Sを添加することがしばしば行なわれている。このような高S含有鋼の酸素分析を考えるに当つては、Sの反応について検討する必要がある。黒鉛坩堝内で試料を溶融、還元した時Sに関して可能性のある生成化合物はCS<sub>2</sub>, CS, COSが上げられる。

これらはいずれもガス状で抽出され、分析装置のCO → CO<sub>2</sub>のための酸化剤などに接触すると、次のような

Table 1. Determination of CS<sub>2</sub> mixed gases.

No.	Gas component	After separation of CS <sub>2</sub> unit: mm oil						Gases condensed by liq. O <sub>2</sub> trap. unit: mm oil					
		P <sub>1</sub>	P <sub>2</sub>	P <sub>3</sub>	H <sub>2</sub>	CO	N <sub>2</sub>	*P <sub>1</sub>	P <sub>2</sub>	P <sub>3</sub>	H <sub>2</sub>	CO <sub>2</sub> +SO <sub>2</sub>	N <sub>2</sub>
1	CO+CS <sub>2</sub>	33.0	31.2	3.4	1.8	27.8	3.4	E 11.5	24.6	0.1	-13.1	24.5	0.1
2	N <sub>2</sub> +CS <sub>2</sub>	46.0	45.8	45.8	0.2	0	45.8	E 11.1	23.1	0.4	-12.0	22.7	0.4
3	N <sub>2</sub> +CS <sub>2</sub>	40.3	38.6	36.9	1.7	1.7	36.9	29.3	65.2	0.2	-35.9	65.0	0.2
4	Air+CS <sub>2</sub>	37.4	36.3	36.1	1.1	0.2	O <sub>2</sub> +N <sub>2</sub>	E 6.3	10.0	0	-3.7	10.0	0
							36.1						

\* Expansion volume was used in the case of large gas quantities.

P<sub>1</sub>: Oil manometer reading of total gas.

P<sub>2</sub>: " after CuO oxidation and P<sub>2</sub>O<sub>5</sub> absorption of H<sub>2</sub>O.

P<sub>3</sub>: " after condensation by liq. O<sub>2</sub> trap.

namely P<sub>1</sub>-P<sub>2</sub>=Pressure decrease proportional to H content.

P<sub>2</sub>-P<sub>3</sub>= " O content.

P<sub>3</sub>=Pressure proportional to N content.